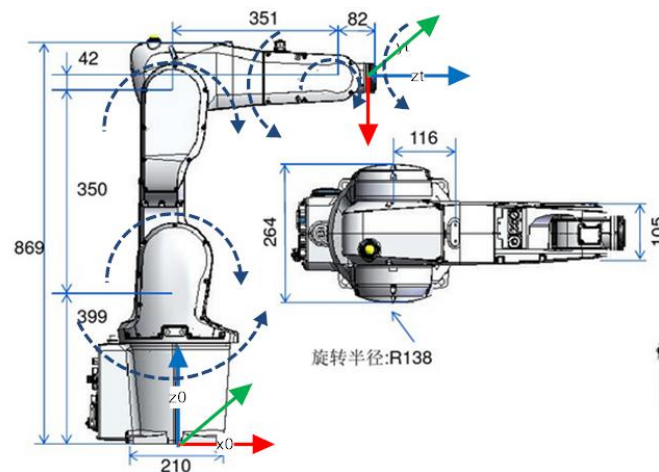


机器人运动学分析

一、DH 参数的定义(d, θ, r, α)

主要尺寸
IRB 1200-7/0.7



DH参数约束描述

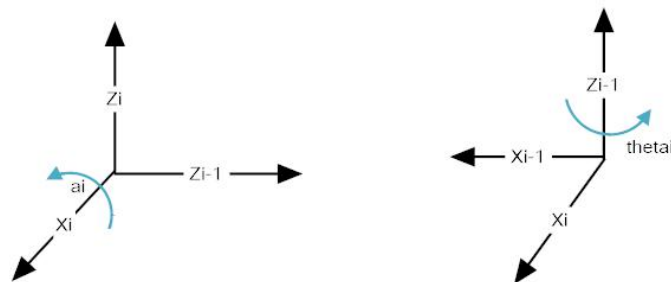
d - x 轴的垂直距离: 沿 Z_i , 从 X_i 到 X_{i+1} 的距离, 或是从 Z_i 原点到 Z_i 和 Z_{i+1} 公共法线;

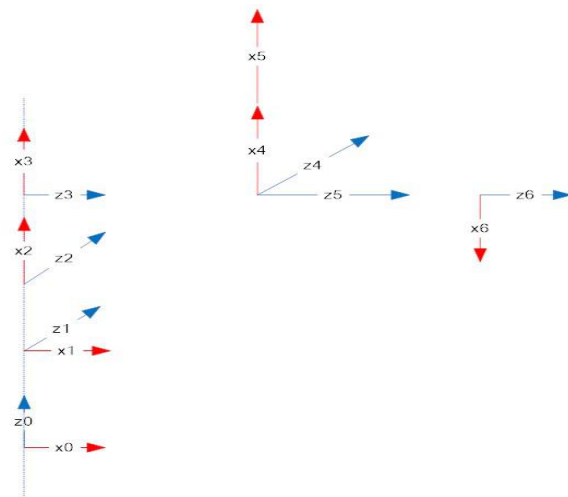
θ - x 轴的夹角: 沿 Z_i , 从 X_i 旋转到 X_{i+1} 的角度;

r - z 轴的垂直距离: 沿 X_{i+1} , 从 Z_i 到 Z_{i+1} 的距离, 或是表述为沿着 Z_i 的旋转半径的大小;

α - z 轴的夹角: 沿 X_{i+1} , 从 Z_i 旋转到 Z_{i+1} 的角度, 或表述为使得 Z_i 朝向期望的旋转方向;

注意: 在确定 z 轴的时候, 先让手指弯曲方向与关节角度正方向一致。正负方向的规定: 关节角度 θ 的正方向定义, 从 z 轴正向看原点 逆时针旋转为正, 按右手规则约定, 扭角 α 角度的正负定义类似, 如下图所示:





以 ABB1200-07 为例，建立坐标系如上，可得 DH 参数表：

DH	d	θ	r	α	offset
0(1-0)	D1	θ_0	0	-90	0
1(2-1)	0	θ_1	L2	0	-90
2(3-2)	0	θ_2	L3	-90	0
3(4-3)	D4	θ_3	0	90	0
4(5-4)	0	θ_4	0	-90	0
5(6-5)	D6	θ_5	0	0	± 180

关于 **offset** 项是叠加在 θ 上面的偏置量，可以理解为机器人处于零位时，驱动轴和传动轴依然存在夹角。

二、运动学正解

1. 连杆的 A 矩阵

从上可得关节 $i-1$ 与关节 i 之间的变换矩阵如下：

$${}^{i-1}T_i = A_i = Rot(z, \theta_i) * Trans(0, 0, d_i) * Trans(r_i, 0, 0) * Rot(x, \alpha_i)$$

$${}^{i-1}T_i = A_i = \begin{bmatrix} c\theta_i & -s\theta_i c\alpha_i & s\theta_i s\alpha_i & r_i c\theta_i \\ s\theta_i & c\theta_i c\alpha_i & -c\theta_i s\alpha_i & r_i s\theta_i \\ 0 & s\alpha_i & c\alpha_i & d_i \\ 0 & 0 & 0 & 1 \end{bmatrix}$$

其中， $s\theta_i$ 表示 $\sin(\theta_i)$ ， $c\theta_i$ 表示 $\cos(\theta_i)$ ，

$$A_1 = \begin{bmatrix} c\theta_1 & 0 & -s\theta_1 & 0 \\ s\theta_1 & 0 & c\theta_1 & 0 \\ 0 & -1 & 0 & D_1 \\ 0 & 0 & 0 & 1 \end{bmatrix} \quad A_2 = \begin{bmatrix} c\theta_2 & -s\theta_2 & 0 & L_2 c\theta_2 \\ s\theta_2 & c\theta_2 & 0 & L_2 s\theta_2 \\ 0 & 0 & 1 & 0 \\ 0 & 0 & 0 & 1 \end{bmatrix}$$

$$A_3 = \begin{bmatrix} c\theta_3 & 0 & -s\theta_3 & L_3c\theta_3 \\ s\theta_3 & 0 & c\theta_3 & L_3s\theta_3 \\ 0 & -1 & 0 & 0 \\ 0 & 0 & 0 & 1 \end{bmatrix} \quad A_4 = \begin{bmatrix} c\theta_4 & 0 & s\theta_4 & 0 \\ s\theta_4 & 0 & -c\theta_4 & 0 \\ 0 & 1 & 0 & D_4 \\ 0 & 0 & 0 & 1 \end{bmatrix}$$

$$A_5 = \begin{bmatrix} c\theta_5 & 0 & -s\theta_5 & 0 \\ s\theta_5 & 0 & c\theta_5 & 0 \\ 0 & -1 & 0 & 0 \\ 0 & 0 & 0 & 1 \end{bmatrix} \quad A_6 = \begin{bmatrix} c\theta_6 & -s\theta_6 & 0 & 0 \\ s\theta_6 & c\theta_6 & 0 & 0 \\ 0 & 0 & 1 & D_6 \\ 0 & 0 & 0 & 1 \end{bmatrix}$$

$${}^0_6T = A_1A_2A_3A_4A_5A_6$$

代入 DH 参数可得

$${}^0_6T = \begin{bmatrix} n_x & o_x & a_x & p_x \\ n_y & o_y & a_y & p_y \\ n_z & o_z & a_z & p_z \\ 0 & 0 & 0 & 1 \end{bmatrix}$$

使用 matlab 计算符号表达式，并简化可得如下结果：

$$\begin{aligned} n_x &= \sin(q_6) * (\cos(q_4) * \sin(q_1) - \sin(q_4) * \cos(q_1) * \cos(q_2 + q_3)) + \cos(q_6) \\ &\quad * (\cos(q_5) * (\sin(q_1) * \sin(q_4) + \cos(q_4) * \cos(q_1) * \cos(q_2 + q_3)) \\ &\quad - \sin(q_5) * \cos(q_1) * \sin(q_2 + q_3)) \\ n_y &= -\sin(q_6) * (\cos(q_1) * \cos(q_4) + \sin(q_4) * \sin(q_1) * \cos(q_2 + q_3)) - \cos(q_6) \\ &\quad * (\cos(q_5) * (\cos(q_1) * \sin(q_4) - \cos(q_4) * \sin(q_1) * \cos(q_2 + q_3)) \\ &\quad + \sin(q_5) * \sin(q_1) * \sin(q_2 + q_3)) \\ n_z &= \sin(q_2 + q_3) * \sin(q_4) * \sin(q_6) - \cos(q_6) * (\cos(q_2 + q_3) * \sin(q_5) + \sin(q_2 \\ &\quad + q_3) * \cos(q_4) * \cos(q_5)) \\ o_x &= \cos(q_6) * (\cos(q_4) * \sin(q_1) - \sin(q_4) * \cos(q_1) * \cos(q_2 + q_3)) - \sin(q_6) \\ &\quad * (\cos(q_5) * (\sin(q_1) * \sin(q_4) + \cos(q_4) * \cos(q_1) * \cos(q_2 + q_3)) \\ &\quad - \sin(q_5) * \cos(q_1) * \sin(q_2 + q_3)) \\ o_y &= \sin(q_6) * (\cos(q_5) * (\cos(q_1) * \sin(q_4) - \cos(q_4) * \sin(q_1) * \cos(q_2 + q_3)) \\ &\quad + \sin(q_5) * \sin(q_1) * \sin(q_2 + q_3)) - \cos(q_6) * (\cos(q_1) * \cos(q_4) \\ &\quad + \sin(q_4) * \sin(q_1) * \cos(q_2 + q_3)) \\ o_z &= \sin(q_6) * (\cos(q_2 + q_3) * \sin(q_5) + \sin(q_2 + q_3) * \cos(q_4) * \cos(q_5)) + \sin(q_2 \\ &\quad + q_3) * \cos(q_6) * \sin(q_4) \\ a_x &= -\sin(q_5) * (\sin(q_1) * \sin(q_4) + \cos(q_4) * \cos(q_1) * \cos(q_2 + q_3)) - \cos(q_5) * \\ &\quad \cos(q_1) * \sin(q_2 + q_3) \\ a_y &= \sin(q_5) * (\cos(q_1) * \sin(q_4) - \cos(q_4) * \sin(q_1) * \cos(q_2 + q_3)) - \cos(q_5) * \\ &\quad \sin(q_1) * \sin(q_2 + q_3) \\ a_z &= \sin(q_2 + q_3) * \cos(q_4) * \sin(q_5) - \cos(q_2 + q_3) * \cos(q_5) \\ p_x &= L_2 * \cos(q_1) * \cos(q_2) - D_4 * \sin(q_2 + q_3) * \cos(q_1) - D_6 * \sin(q_2 + q_3) \\ &\quad * \cos(q_1) * \cos(q_5) + L_3 * \cos(q_1) * \cos(q_2 + q_3) - D_6 * \sin(q_1) \\ &\quad * \sin(q_4) * \sin(q_5) - D_6 * \cos(q_1) * \cos(q_2) * \cos(q_3) * \cos(q_4) * \sin(q_5) \\ &\quad + D_6 * \cos(q_1) * \cos(q_4) * \sin(q_2) * \sin(q_3) * \sin(q_5) \end{aligned}$$

$$p_y = L2 * \cos(q2) * \sin(q1) - D4 * \sin(q2 + q3) * \sin(q1) - D6 * \sin(q2 + q3) \\ * \cos(q5) * \sin(q1) + L3 * \sin(q1) * \cos(q2 + q3) + D6 * \cos(q1) * \sin(q4) \\ * \sin(q5) + D6 * \cos(q4) * \sin(q1) * \sin(q2) * \sin(q3) * \sin(q5) - D6 \\ * \cos(q2) * \cos(q3) * \cos(q4) * \sin(q1) * \sin(q5)$$

$$p_z = D1 - D4 * \cos(q2 + q3) - L3 * \sin(q2 + q3) - L2 * \sin(q2) + (D6 * \sin(q2 \\ + q3) * \sin(q4 + q5))/2 - D6 * \cos(q2 + q3) * \cos(q5) - (D6 * \sin(q4 \\ - q5) * \sin(q2 + q3))/2$$

姿态角使用 RPY 表示。

2. 根据各轴角度确定姿态

2.1 正反手姿态

由旋转矩阵的坐标变换公式，有

$$\begin{bmatrix} \cos \theta & -\sin \theta \\ \sin \theta & \cos \theta \end{bmatrix} \times \begin{bmatrix} p'_x \\ p'_y \end{bmatrix} = \begin{bmatrix} p_x \\ p_y \end{bmatrix}$$

已知 $\begin{bmatrix} p_x \\ p_y \end{bmatrix}$ 和 θ ，求 $\begin{bmatrix} p'_x \\ p'_y \end{bmatrix}$ ，因为旋转矩阵的逆等于旋转矩阵的转置，所以有

$$\begin{bmatrix} p'_x \\ p'_y \end{bmatrix} = \begin{bmatrix} \cos \theta & \sin \theta \\ -\sin \theta & \cos \theta \end{bmatrix} \times \begin{bmatrix} p_x \\ p_y \end{bmatrix}$$

可得

$$p'_x = p_x \cos \theta + p_y \sin \theta$$

如果 $p'_x \geq 0$ ，反手姿态 lefty，反之为 righty 姿态；

几何意义是：腕部中心点的坐标在第 1 轴中心线（连杆坐标的 Z 轴方向）的左边，可以从 Y' 轴正方向观察点在 X' 轴上的正负；

2.2 上下肘姿态

$$\angle threshold = \tan^{-1} \frac{D_4}{L_3}$$

在反手 lefty 姿态下，若有

$$q_3 \leq -|\angle threshold|$$

则机械手处于下肘姿态，反之是上肘姿态。

在正手姿态下，判断条件刚好与之相反，若有

$$q_3 > -|\angle threshold|$$

则机械手处于下肘姿态，反之是上肘姿态；

2.3 腕翻转姿态

在反手 lefty 姿态下，若有

$$q_5 > 0$$

则机械手处于不翻转姿态，反之是翻转姿态。

在正手姿态下，判断条件刚好与之相反，若有

$$q_5 < 0$$

则机械手处于不翻转姿态，反之是翻转姿态；

2.4 四轴形态和六轴形态

若

$$|q_4| > \pi$$

则是双圈姿态，否则为单圈姿态。

同理

若

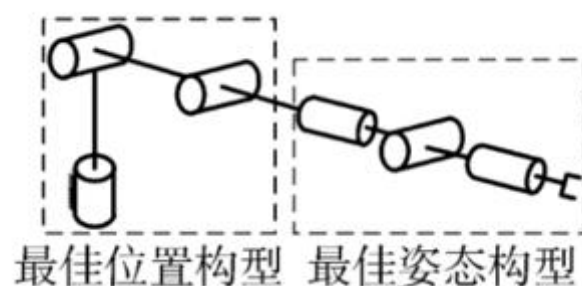
$$|q_6| > \pi$$

则是双圈姿态，否则为单圈姿态。

三、运动学逆解：位置

已知机器人末端的位姿，有

$${}^0_6T = \begin{bmatrix} n_x & o_x & a_x & p_x \\ n_y & o_y & a_y & p_y \\ n_z & o_z & a_z & p_z \\ 0 & 0 & 0 & 1 \end{bmatrix}$$



六自由度最佳构型

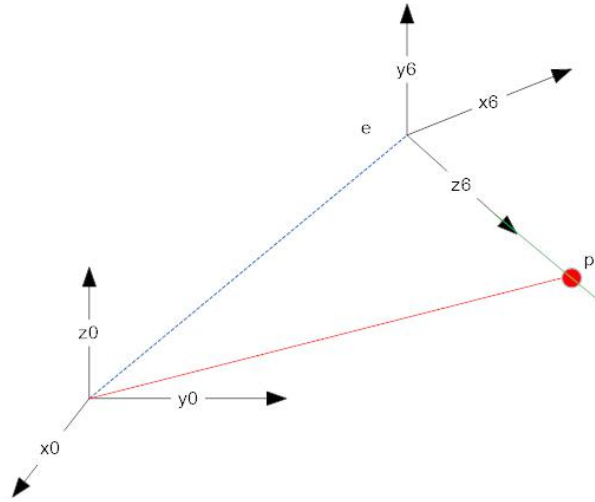
反向运动学问题，可描述为给定机械手末端的位姿，即位置和姿态，反求各个关节的角度。因为机器人模型最后三个关节相交于一点（第五关节的中心点），满足 Pieper 准则，因此模型存在封闭解。

求解思路：根据手腕的位置，采用平面几何方法计算出前三个关节的值，尽管可以求得多组封闭解，但是单纯采用几何法计算关节角，会受机械臂构型影响较大，逆解算法无法通用，从而对开发其余构型机械臂的逆解算法参考价值不大。代数法虽然耗时多，但是通用性

好。

机器人的一个空间位置姿态，可能会存在多种关节角，如果采用几何法求解，且考虑不充分，可能会造成求解结果变少的情况。另外，利用手腕姿态，可求出后三个关节（手腕关节）的值。获得的解有可能并不唯一，最后根据约束条件，对所获得的解进行筛选，排除不在约束条件内部的解，可以根据路径最短原则或是姿态初始值选取最优解。

3. 求手腕中心位置 e



\vec{a} ，表示机械手末端坐标系 Z 轴与基座坐标系 xyz 的夹角余弦，由上图可得：

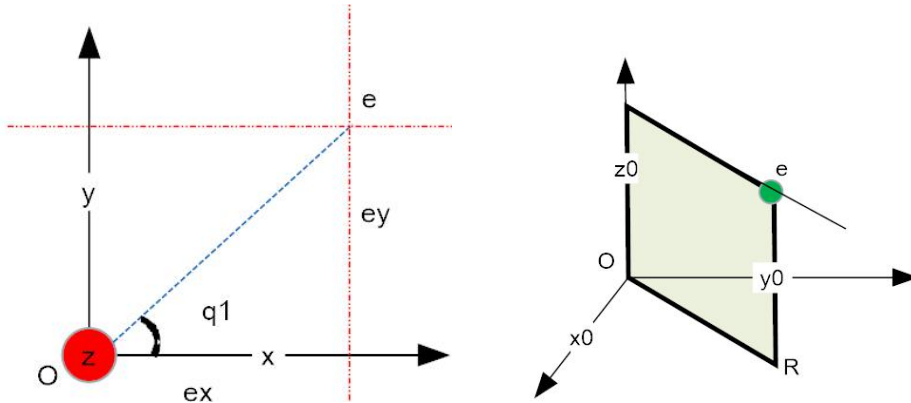
$$\vec{op} = \vec{oe} + D6 * \vec{a}$$

$$\vec{oe} = \vec{op} - D6 * \vec{a}$$

$$e_x = p_x - D6 * a_x$$

$$e_y = p_y - D6 * a_y$$

$$e_z = p_z - D6 * a_z$$



把腕部中心点 e 投影到 XOY 平面上，得到点 e，如上图，可计算关节 1 的角度为：

$$q_{11} = \tan^{-1} \frac{e_y}{e_x}$$

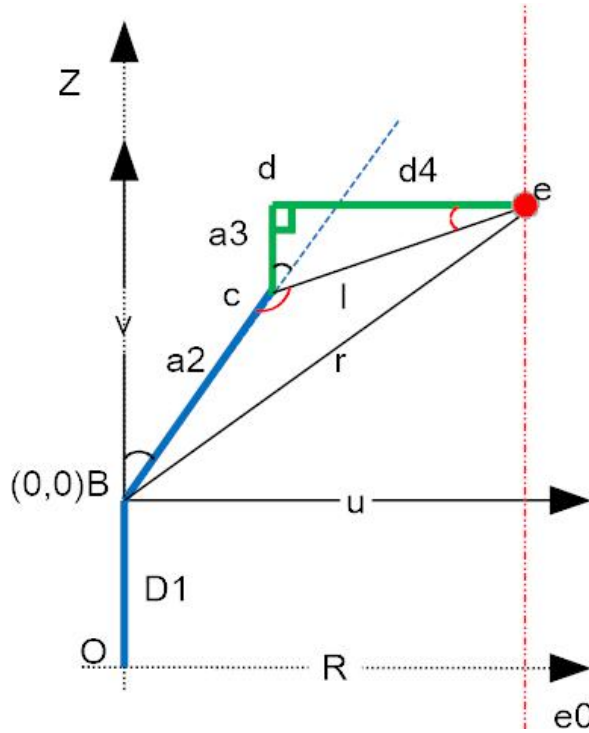
对于同一点 e， q_1 有两个解，此二解差 180 度，根据后面 q_2q_3 的正负号，**当 q_2 大于 0，则**

上解为 right shoulder，即 righty 正手，反之称为 left shoulder 解 lefty 反手，如下表示：

$$q_{12} = \pi + \tan^{-1} \frac{e_y}{e_x}$$

2、EOZ 平面投影

再把机械手投影到 EOZ 竖直平面，该平面垂直于 XOY 平面，EOZ 平面的 OR 矢量与 XOY 平面的 OE 重合，并定义为新坐标系的 U 轴，同理定义 V 轴方向与 Z 轴同向，如下图所示：



由图可得，e 点在 UBZ 平面上的坐标为 $[e_u, e_v]$ ，且 e_u 与 XOY 平面上 OE 长度相等，

$$e_u = \sqrt{e_x^2 + e_y^2} - L_1$$

此处，针对 ABB 机器人模型有 $L_1 = 0$ 。

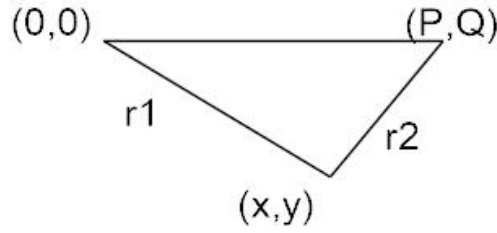
$$e_v = e_z - D1$$

因此，BE 长度等于，

$$r = \sqrt{e_u^2 + e_v^2}$$

3、辅助点坐标计算公式推导

已知平面点 $[x,y]$ ，距离原点为 r_1 ，距离点 $[P,Q]$ 为 r_2 ，其中 r_1 ， r_2 ， $[P,Q]$ 都为已知量，求 $[x,y]$ 的计算公式。



解：

建立联立方程

$$\begin{cases} x^2 + y^2 = r_1^2 & (1) \\ (x - P)^2 + (y - Q)^2 = r_2^2 & (2) \end{cases}$$

化简方程组，并设

$$tp = P^2 + Q^2 + r_1^2 - r_2^2$$

$$a = \frac{tp}{2P}$$

$$b = \frac{-Q}{P}$$

可得

$$x = a + by$$

把结果代入方程组（2）式，有

$$(b^2 + 1)y^2 + 2aby + (a^2 - r_1^2) = 0$$

令 $A = b^2 + 1$, $B = 2ab$, $C = a^2 - r_1^2$, 可解得

$$y = \frac{-B \pm \sqrt{B^2 - 4AC}}{2A}$$

再把 y 代入方程组（1）式，可得 x 。

这个计算结果用于姿态的取舍，如果 y 为正，则 Elbow 状态为 above/up，上肘。

4、辅助点 c 在 UV 平面上的坐标 $[c_u, c_v]$

从投影图上可知

$$\overrightarrow{BC} = r_1, \overrightarrow{CE} = r_2, \text{ 其中 } r_1 = a_2, r_2 = l = \sqrt{a_3^2 + d_4^2}$$

而 E 点坐标为 $[e_u, e_v]$ ，代入公式的 $[P, Q]$ ，如下

$$P = \sqrt{e_x^2 + e_y^2}$$

$$Q = e_z - D1$$

利用公式 3，可得

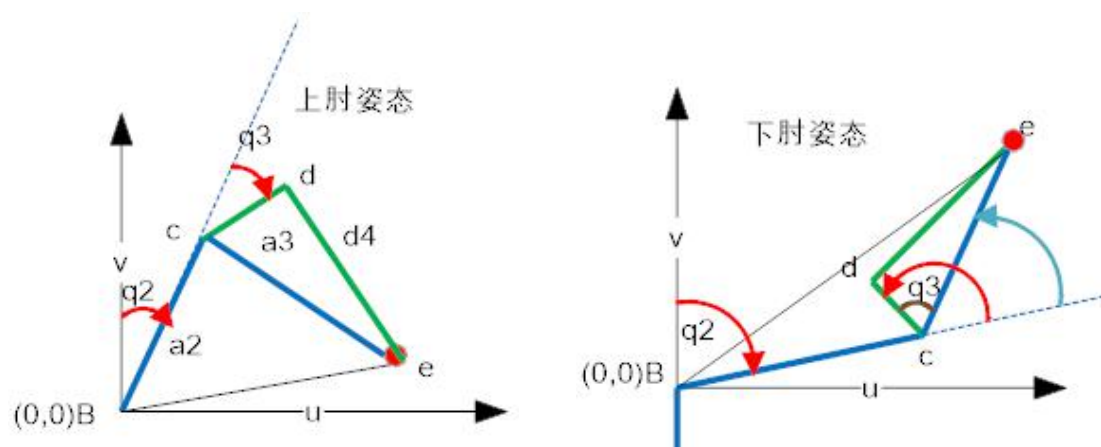
$$c_v = \frac{-B \pm \sqrt{B^2 - 4AC}}{2A}$$

先取 $c_v > 0$ ，（上肘 elbow above），即当给定姿态为上肘时，取 c_v 的大值代入方程。

带入 $c_u = a + bc_v$ ，可求得 c_u ，该值用于在给定姿态下，选取合适的关节角度 q_2 。

5、解关节角度 q2

当在第一个关节角度 q_1 为正手时，234 关节在平面上构成上肘姿态和下肘姿态的几何图，分别如下所示。



由 ZOE 投影图，利用余弦定理有

$$\alpha = \angle CBE = \cos^{-1} \frac{r_1^2 + P^2 + Q^2 - r_2^2}{2r_1\sqrt{P^2 + Q^2}}$$

$$\varphi = \angle EBU = \tan^{-1} \frac{Q}{P}$$

$$q_{21} = \frac{\pi}{2} - \varphi - a \quad \text{上肘位形}$$

$$q_{22} = \frac{\pi}{2} - \varphi + a \quad \text{下肘位形}$$

如果 $c_u < 0$ ，则 $q_{21} = -|q_{21}|$ 或是 $q_{22} = -|q_{22}|$ 。

注意，角度 α 的计算方法，可以采用如下方式进行，

$$\cos \alpha = \frac{r_1^2 + P^2 + Q^2 - r_2^2}{2r_1\sqrt{P^2 + Q^2}}, \quad \alpha = \tan^{-1} \frac{\sqrt{1 - (\cos \alpha)^2}}{\cos \alpha}$$

C 函数 ATAN2(a,b) 的取值范围介于 $-\pi$ 到 π 之间，与 ATAN 的 $\pi/2$ 不同之处；

6、解关节角度 q3

从上图可知，有

$$\beta = \angle BCE = \cos^{-1} \frac{r_1^2 + r_2^2 - (P^2 + Q^2)}{2r_1r_2}$$

$$\angle DCE = \tan^{-1} \frac{d_4}{a_3}$$

上肘姿态 $q_{31} = \pi - (\angle DCE + \beta)$, $c_v > 0$

下肘姿态 $q_{32} = -(\pi + \angle DCE - \beta)$, $c_v < 0$

7、上肘姿态与下肘姿态（elbow up 和 elbow down）

C 点习惯使用上肘，从上面公式可知，C 点坐标会有两个解，C 点如果在 BE 线左侧即上肘姿态，反之称为下肘姿态，请注意在不同姿态时， q_2q_3 的方向定义。一般情况下， q_2q_3 的正负取值也受第一个关节角度 q_1 的影响，如果 q_1 取反手姿态，则 q_2 要取负值。**为便于验证算法的正确性，可以先把 D6 设为 0；**

8、解的组合

约定第一个关节的范围是 -180 到 180 时，有四个组合，分别是

$$\begin{cases} q_{11}, q_{21}, q_{31} & \text{正手, 上肘姿态} \\ q_{11}, q_{22}, q_{32} & \text{正手, 下肘姿态} \\ q_{21}, -q_{21}, q_{32} & \text{反手, 下肘姿态} \\ q_{21}, -q_{22}, q_{31} & \text{反手, 上肘姿态} \end{cases}$$

如果第一个关节的运动范围小于 180，则只有两组有效解；若大于 180，小于 360，则有四个解，如果大于 360 度，则有解的数量会相应增加；

四、运动学逆解：姿态

已知目标位姿和前三个关节角度 $q_1q_2q_3$ ，求解 $q_4q_5q_6$ 。若干顺规的旋转矩阵如下所示：

6 种只绕两条轴的旋转（Proper Euler Angle）：XYZ, YXY, XZX, ZXZ, YZY, ZYZ；

6 种绕三条轴的旋转（Tait-Bryan Angle）：XYZ, XZY, YXZ, YZX, ZXY, ZYX；

Proper Euler angles	Tait-Bryan angles
$X_1Z_2X_3 = \begin{bmatrix} c_2 & -c_3s_2 & s_2s_3 \\ c_1s_2 & c_1c_2c_3 - s_1s_3 & -c_3s_1 - c_1c_2s_3 \\ s_1s_2 & c_1s_3 + c_2c_3s_1 & c_1c_3 - c_2s_1s_3 \end{bmatrix}$	$X_1Z_2Y_3 = \begin{bmatrix} c_2c_3 & -s_2 & c_2s_3 \\ s_1s_3 + c_1c_3s_2 & c_1c_2 & c_1s_2s_3 - c_3s_1 \\ c_3s_1s_2 - c_1s_3 & c_2s_1 & c_1c_3 + s_1s_2s_3 \end{bmatrix}$
$X_1Y_2X_3 = \begin{bmatrix} c_2 & s_2s_3 & c_3s_2 \\ s_1s_2 & c_1c_3 - c_2s_1s_3 & -c_1s_3 - c_2c_3s_1 \\ -c_1s_2 & c_3s_1 + c_1c_2s_3 & c_1c_2c_3 - s_1s_3 \end{bmatrix}$	$X_1Y_2Z_3 = \begin{bmatrix} c_2c_3 & -c_2s_3 & s_2 \\ c_1s_3 + c_3s_1s_2 & c_1c_3 - s_1s_2s_3 & -c_2s_1 \\ s_1s_3 - c_1c_3s_2 & c_3s_1 + c_1s_2s_3 & c_1c_2 \end{bmatrix}$
$Y_1X_2Y_3 = \begin{bmatrix} c_1c_3 - c_2s_1s_3 & s_1s_2 & c_1s_3 + c_2c_3s_1 \\ s_2s_3 & c_2 & -c_3s_2 \\ -c_3s_1 - c_1c_2s_3 & c_1s_2 & c_1c_2c_3 - s_1s_3 \end{bmatrix}$	$Y_1X_2Z_3 = \begin{bmatrix} c_1c_3 + s_1s_2s_3 & c_3s_1s_2 - c_1s_3 & c_2s_1 \\ c_2s_3 & c_2c_3 & -s_2 \\ c_1s_2s_3 - c_3s_1 & c_1c_3s_2 + s_1s_3 & c_1c_2 \end{bmatrix}$
$Y_1Z_2Y_3 = \begin{bmatrix} c_1c_2c_3 - s_1s_3 & -c_1s_2 & c_3s_1 + c_1c_2s_3 \\ c_3s_2 & c_2 & s_2s_3 \\ -c_1s_3 - c_2c_3s_1 & s_1s_2 & c_1c_3 - c_2s_1s_3 \end{bmatrix}$	$Y_1Z_2X_3 = \begin{bmatrix} c_1c_2 & s_1s_3 - c_1c_3s_2 & c_3s_1 + c_1s_2s_3 \\ s_2 & c_2c_3 & -c_2s_3 \\ -c_2s_1 & c_1s_3 + c_3s_1s_2 & c_1c_3 - s_1s_2s_3 \end{bmatrix}$
$Z_1Y_2Z_3 = \begin{bmatrix} c_1c_2c_3 - s_1s_3 & -c_3s_1 - c_1c_2s_3 & c_1s_2 \\ c_1s_3 + c_2c_3s_1 & c_1c_3 - c_2s_1s_3 & s_1s_2 \\ -c_3s_2 & s_2s_3 & c_2 \end{bmatrix}$	$Z_1Y_2X_3 = \begin{bmatrix} c_1c_2 & c_1s_2s_3 - c_3s_1 & s_1s_3 + c_1c_3s_2 \\ c_2s_1 & c_1c_3 + s_1s_2s_3 & c_3s_1s_2 - c_1s_3 \\ -s_2 & c_2s_3 & c_2c_3 \end{bmatrix}$
$Z_1X_2Z_3 = \begin{bmatrix} c_1c_3 - c_2s_1s_3 & -c_1s_3 - c_2c_3s_1 & s_1s_2 \\ c_3s_1 + c_1c_2s_3 & c_1c_2c_3 - s_1s_3 & -c_1s_2 \\ s_2s_3 & c_3s_2 & c_2 \end{bmatrix}$	$Z_1X_2Y_3 = \begin{bmatrix} c_1c_3 - s_1s_2s_3 & -c_2s_1 & c_1s_3 + c_3s_1s_2 \\ c_3s_1 + c_1s_2s_3 & c_1c_2 & s_1s_3 - c_1c_3s_2 \\ -c_2s_3 & s_2 & c_2c_3 \end{bmatrix}$

1、求以手腕坐标系为参考的姿态向量

1.1 方法一（解析法）

根据 DH 参数的 A 矩阵公式，有

$${}^3_6T = A_4A_5A_6 = \begin{bmatrix} c_4c_5c_6 - s_4s_6 & -c_6s_4 - c_4c_5s_6 & -c_4s_5 & -D_6c_4s_5 \\ c_4s_6 + c_5c_6s_4 & c_4c_6 - c_5s_4s_6 & -s_4s_5 & -D_6s_4s_5 \\ c_6s_5 & -s_5s_6 & c_5 & D_4 + D_6c_5 \\ 0 & 0 & 0 & 1 \end{bmatrix} \quad (1)$$

且已知 ${}^0_6T = A_1A_2A_3A_4A_5A_6 = \begin{bmatrix} n_x & o_x & a_x & p_x \\ n_y & o_y & a_y & p_y \\ n_z & o_z & a_z & p_z \\ 0 & 0 & 0 & 1 \end{bmatrix}$ 以及 $q_1q_2q_3$ ，可先求得 $A_1A_2A_3$

再计算

$${}^3_6T = (A_1A_2A_3)^{-1}({}^0_6T) = \begin{bmatrix} m_{11} & m_{12} & m_{13} & m_{14} \\ m_{21} & m_{22} & m_{23} & m_{24} \\ m_{31} & m_{32} & m_{33} & m_{34} \\ 0 & 0 & 0 & 1 \end{bmatrix} \quad (2)$$

可利用旋转矩阵是正交单位阵的特性，它的逆阵等于它的转置，有

$$R^T = (R^{-1})$$

即

$$(A_1A_2A_3)^{-1} = (A_1A_2A_3)^T$$

(1) 和 (2) 建立等式，有

$$\begin{bmatrix} c_4c_5c_6 - s_4s_6 & -c_6s_4 - c_4c_5s_6 & -c_4s_5 & -D_6c_4s_5 \\ c_4s_6 + c_5c_6s_4 & c_4c_6 - c_5s_4s_6 & -s_4s_5 & -D_6s_4s_5 \\ c_6s_5 & -s_5s_6 & c_5 & D_4 + D_6c_5 \\ 0 & 0 & 0 & 1 \end{bmatrix} = \begin{bmatrix} m_{11} & m_{12} & m_{13} & m_{14} \\ m_{21} & m_{22} & m_{23} & m_{24} \\ m_{31} & m_{32} & m_{33} & m_{34} \\ 0 & 0 & 0 & 1 \end{bmatrix}$$

利用齐次矩阵中位置分量相等的代数方法，可求得

$$q_4 = \tan^{-1} \frac{m_{23}}{m_{13}}$$

$$s_5 = \pm \sqrt{m_{13}^2 + m_{23}^2}$$

$$q_5 = \tan^{-1} \frac{s_5}{c_5} = \tan^{-1} \left(\frac{\pm \sqrt{m_{13}^2 + m_{23}^2}}{m_{33}} \right)$$

$$q_6 = \tan^{-1} \left(\frac{-m_{32}}{m_{31}} \right)$$

若出现 $m_{33} - 1 = 0$ ，即在奇异点处， $q_5 = 0$ ， $c_5 = 1$ ，则

$$\begin{bmatrix} c_{46} & -s_{46} & 0 & 0 \\ s_{46} & c_{46} & 0 & 0 \\ 0 & 0 & 1 & D_4 \\ 0 & 0 & 0 & 1 \end{bmatrix} = \begin{bmatrix} m_{11} & m_{12} & m_{13} & m_{14} \\ m_{21} & m_{22} & m_{23} & m_{24} \\ m_{31} & m_{32} & m_{33} & m_{34} \\ 0 & 0 & 0 & 1 \end{bmatrix}$$

$$m_{21} = \sin(q_4 + q_6)$$

$$m_{11} = \cos(q_4 + q_6)$$

有

$$q_4 + q_6 = \tan^{-1}\left(\frac{m_{21}}{m_{11}}\right) + k\pi \quad (k \in \mathbb{Z})$$

求得结果，代入检验，取 $k = 1$ ，故

$$q_4 + q_6 = \tan^{-1}\left(\frac{m_{21}}{m_{11}}\right) + \pi$$

按各轴的权重，优先移动小轴的原则，故

$$\begin{aligned} q_4 &= q_{4_actual} \\ q_5 &= 0 \\ q_6 &= \tan^{-1}\left(\frac{m_{21}}{m_{11}}\right) + \pi - q_4 \end{aligned}$$

至此，八组解求解完毕。

1.2 常用公式

	Equations	Solutions
1	$a \sin \theta + b \cos \theta = c$	$\theta = A \tan 2(a, b) \mp A \tan 2\left(\sqrt{a^2 + b^2 - c^2}, c\right)$
2	$a \sin \theta + b \cos \theta = 0$	$\theta = A \tan 2(-b, a) \text{ or } \theta = A \tan 2(b, -a)$
3	$\cos \theta = a \text{ and } \sin \theta = b$	$\theta = A \tan 2(b, a)$
4	$\cos \theta = a$	$\theta = A \tan 2\left(\mp \sqrt{1 - a^2}, a\right)$
5	$\sin \theta = a$	$\theta = A \tan 2\left(a, \mp \sqrt{1 - a^2}\right)$

Table 2. Some trigonometric equations and solutions used in inverse kinematics

1.3 结果验证

上面的结果是利用反三角函数求出，由于反三角函数的周期性，周期是 π 或是 2π ，故存在多解，需要把求得的解依次组合后，分别代入上面原等式，如果等式成立，则解的组合合法，反之剔除。接着继续检验各关节角度是否超过限位。经验证后，在反手 **lefty** 形态下，可得如下解的组合：

不翻转 **Non-Flip** 的解为

$$\begin{aligned} q_{41} &= \pi + q_4 \\ q_{51} &= |q_5| \\ q_{61} &= \pi + q_6 \end{aligned}$$

翻转 **Flip** 的解为

$$\begin{aligned} q_{42} &= q_4 \\ q_{52} &= -|q_5| \end{aligned}$$

$$q_{62} = q_6$$

如果是正手形态 **righty** 形态，解的形式全部对调。

注意两点：

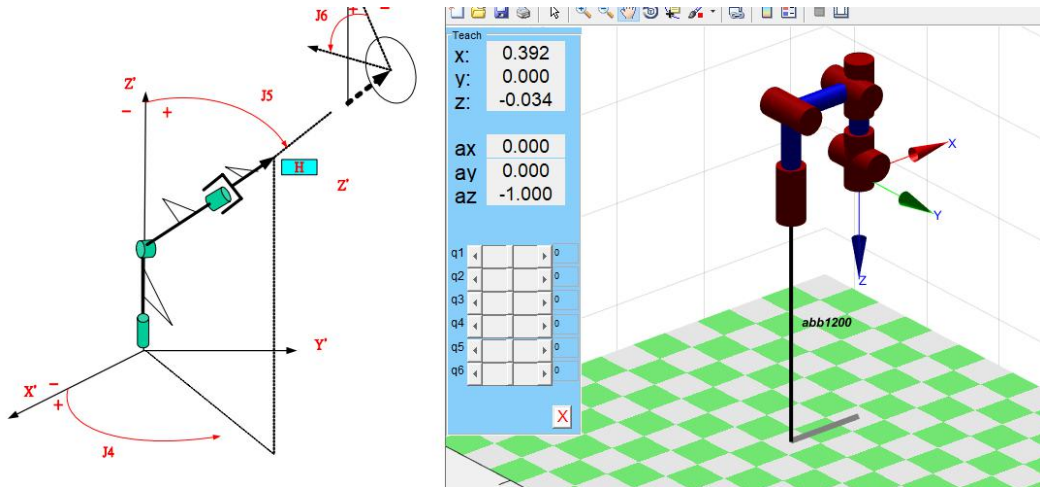
- 1、 $s_5 = 0$ 时，机械系统处于奇异点位形，需要特殊处理；
- 2、多个解中，可以使用姿态向量的绝对距离最短原则来选取解，即路径最短原则选取最优解；

1.4 方法二（几何法）

在维基百科可以查到 ZYZ 顺规的欧拉角旋转矩阵如下：

$$Z_4 Y_5 Z_6 = \begin{bmatrix} c_4 c_5 c_6 - s_4 s_6 & -c_6 s_4 - c_4 c_5 s_6 & c_4 s_5 \\ c_4 s_6 + c_5 c_6 s_4 & c_4 c_6 - c_5 s_4 s_6 & s_4 s_5 \\ -c_6 s_5 & s_5 s_6 & c_5 \end{bmatrix}$$

该矩阵仅考虑三个角度的旋转，不考虑扭角，它与 TCP 目标位姿的齐次矩阵元素基本相同，但是个别元素的符号有差异，估计是 DH 参数的扭角 α 引起；根据旋转矩阵逆的几何含义，旋转矩阵的逆阵可以把新向量转回原来的向量。



说明：首先使用 $(A_1 A_2 A_3)^{-1}$ 方法，求解在实际腕关节坐标系下的目标姿态矩阵，腕关节坐标应该是如右上图所示，即参考系为 $(xw, yw, zw) = (x, -y, -z)$ ，z 轴和 y 轴方向与基座坐标系的方向相反，原因是 DH 参数扭角的存在；

再者，假设把目标姿态矩阵，按如下规则进行旋转，先绕基座坐标系 Z 轴，反向旋转 q_1 角度，因为是左乘，接着绕固定的基座坐标系 y 轴，反向旋转第二轴和第三轴的关节角度总和 $q_2 + q_3$ ，此时，新的腕关节坐标与基座坐标系方向相同。

综上，按如下方法得到的旋转矩阵，就是目标姿态相对于新的腕关节坐标 (xw', yw', zw') $= (x, y, z)$ 的旋转矩阵，相当于实际腕关节坐标系绕 X 轴旋转了 180 度；

$$\begin{bmatrix} c_4 c_5 c_6 - s_4 s_6 & -c_6 s_4 - c_4 c_5 s_6 & -c_4 s_5 & -D_6 c_4 s_5 \\ -c_4 s_6 - c_5 c_6 s_4 & c_5 s_4 s_6 - c_4 c_6 & s_4 s_5 & D_6 s_4 s_5 \\ -c_6 s_5 & s_5 s_6 & -c_5 & -D_4 - D_6 c_5 \\ 0 & 0 & 0 & 1 \end{bmatrix}$$

$$\begin{bmatrix} m_{11} & m_{12} & m_{13} \\ m_{21} & m_{22} & m_{23} \\ m_{31} & m_{32} & m_{33} \end{bmatrix} = Rot(y, -q_2 - q_3) * Rot(z, -q_1) * \begin{bmatrix} n_x & o_x & a_x \\ n_y & o_y & a_y \\ n_z & o_z & a_z \end{bmatrix}$$

$$\begin{bmatrix} c_4 c_5 c_6 - s_4 s_6 & -c_6 s_4 - c_4 c_5 s_6 & -c_4 s_5 \\ -c_4 s_6 - c_5 c_6 s_4 & c_5 s_4 s_6 - c_4 c_6 & s_4 s_5 \\ -c_6 s_5 & s_5 s_6 & -c_5 \end{bmatrix} = \begin{bmatrix} m_{11} & m_{12} & m_{13} \\ m_{21} & m_{22} & m_{23} \\ m_{31} & m_{32} & m_{33} \end{bmatrix}$$

$$q_4 = \tan^{-1} \left(\frac{m_{23}}{-m_{13}} \right)$$

$$s_5 = \pm \sqrt{1 - c_5^2}$$

$$q_5 = \tan^{-1} \left(\frac{s_5}{c_5} \right)$$

$$q_6 = \tan^{-1} \left(\frac{-m_{32}}{m_{31}} \right)$$

其余分析同方法一类似，主要是目标姿态旋转矩阵所参考的坐标系不同，导致使用旋转矩阵的元素符号有所差异，但在使用代数法进行求解时，结果是一样的。

五、总结

1、在计算运动学逆解时，对于符合 **pieper** 准则结构的机器人，每一个目标位姿，若关节角度运动范围限制为正负 180 度时，最多有八个解析解。但是，如果有个别轴的运动范围超过 180 度，则解的个数会超过八个。

2、奇异点问题的处理，当第五轴接近 0 时，即第四轴和第六轴成一直线，自由度退化，导致逆解失败，物理现象是从 A 点移动到 B 点，距离很短，但是第四轴产生过速暴走现象。奇异点规避算法可以查询其它相关文献，例如根据操作度提前判断奇异点的产生，降速改变机器人的末端姿态，或是不降速重新规划轨迹。

2021 年 9 月 8 日星期三